

ЭФФЕКТИВНОЕ СПИН-ОРБИТАЛЬНОЕ ВЗАИМОДЕЙСТВИЕ В УЗКИХ КВАНТОВЫХ ЯМАХ

Девизорова Ж. А., Волков В. А.

Институт радиотехники и электроники им. В.А. Котельникова РАН, <http://cplire.ru>

Москва 125009, Российская Федерация

Поступила в редакцию 08 октября 2018, принята 28 ноября 2018

Представлена действительным членом РАЕН А.В. Андреевым

Считается, что спиновое расщепление энергии двумерных электронов в квантовых ямах соединений A_3B_5 определяется, в основном, спин-орбитальным взаимодействием Рашбы и линейным по импульсу спин-орбитальным взаимодействием Дрессельхауза. Показано, что интерфейсное спин-орбитальное взаимодействие значительно перенормирует значение соответствующих параметров Рашбы (α_{SIA}) и Дрессельхауза (α_{BIA}). Решено уравнение эффективной массы в квантовой яме, дополненное оригинальными граничными условиями на атомарно резких интерфейсах, и вычислены интерфейсные вклады в α_{SIA} и α_{BIA} . Результаты объясняют значительный разброс экспериментальных данных о спин-орбитальных параметрах в квантовых ямах GaAs/AlGaAs. Продемонстрировано также, что неэквивалентность интерфейсов приводит к анизотропии спинового расщепления даже в квантовых ямах с нулевым средним электрическим полем.

Ключевые слова: квантовые ямы, спиновое расщепление электронных спектров, спин-орбитальное взаимодействие, интерфейсные вклады

PACS: 71.22.+i, 71.70.Ej, 73.21.Fg, 73.20.-r, 73.21.-b

СОДЕРЖАНИЕ

1. ВВЕДЕНИЕ И МОТИВАЦИЯ (357)
 2. ОБЩАЯ ТЕОРИЯ ИНТЕРФЕЙСНОГО СПИН-ОРБИТАЛЬНОГО ВЗАИМОДЕЙСТВИЯ В КВАНТОВЫХ ЯМАХ (358)
 3. ЗАКЛЮЧЕНИЕ (361)
- ЛИТЕРАТУРА (361)

1. ВВЕДЕНИЕ И МОТИВАЦИЯ

Сохранение поляризации спина имеет решающее значение для применения в спинтронных устройствах. Из-за спин-орбитального взаимодействия (SOI) электроны в квантовых ямах (QW) испытывают релаксацию спина и дефазировку по механизму Дьяконова-Переля [3]. В квантовых ямах соединений A_3B_5 существуют два типа SOI: Дрессельхауза [1] и Рашбы [2]. SOI типа Дрессельхауза происходит из-за отсутствия инверсионной симметрии в объемном кристалле и пропорционально параметру Дрессельхауза α_{BIA} (bulk inversion asymmetry). SOI типа Рашбы обусловлено структурной асимметрией и пропорционально параметру α_{SIA} (structure inversion asymmetry). Если α_{BIA} и α_{SIA} равны, поляризация

геликоидального спинового состояния сохраняется [4]. Для достижения этого эффекта необходимо уметь управлять указанными параметрами. В формализме огибающих функций они определяются следующими выражениями $\alpha_{BIA}^{(0)} = \gamma_c \langle \hat{p}_z^2 \rangle / \hbar^3$, $\alpha_{SIA}^{(0)} = a_{so} \langle \partial_z V(z) \rangle$, где γ_c и a_{so} являются объемными константами [18]. Таким образом, считается, что параметром α_{SIA} можно управлять с помощью напряжения на затворном электроде или путем выбора отношения между концентрацией легирующей примеси с двух сторон QW, тогда как параметр α_{BIA} определяется путем выбора материала и ширины QW. Однако экспериментальное определение объемных констант γ_c и a_{so} является сложной проблемой. Несмотря на многочисленные экспериментальные исследования QW на основе GaAs, реалистическое значение γ_c до сих пор активно обсуждается в литературе.

Параметр γ_c измерялся Маруцаком с соавторами для объемного GaAs [5] и было получено значение $\gamma_c = 24 \text{ эВ} \times \text{Å}$ [3], которое хорошо согласуется с кр-теорией и до сих

пор не пересмотрено. Но с 1990-х годов γ_c и a_{so} измерялись не в объемном GaAs, а в QW с интерфейсами [4, 6-15]. Полученные данные имеют значительный разброс (см. Рис. 1). Более того, они расходятся с теоретическими результатами. Как указывалось в работе [17], возможной причиной расхождения является неполный расчет интерфейсного спин-орбитального взаимодействия (ISOI). Таким образом, в этих экспериментах получены не объемные значения спин-орбитальных параметров, а некоторые эффективные величины, содержащие информацию о микроскопической структуре интерфейсов. Теория ISOI в широкой односторонне легированной GaAs-квантовой яме, где электроны прижаты к гетерогранице (100) GaAs/AlGaAs встроенным электрическим полем, была развита в работах [16, 17]. Показано, что интерфейсные вклады в α_{BIA} и α_{SIA} имеют тот же порядок, что и объемные. Однако в более общей ситуации электроны взаимодействуют с атомарно резкими интерфейсными потенциалами сразу двух гетерограниц, и ISOI обеих вносит вклад в α_{BIA} и α_{SIA} . Учитывая это, в настоящей работе разработана теория ISOI в QWs произвольной ширины и любого потенциального профиля.

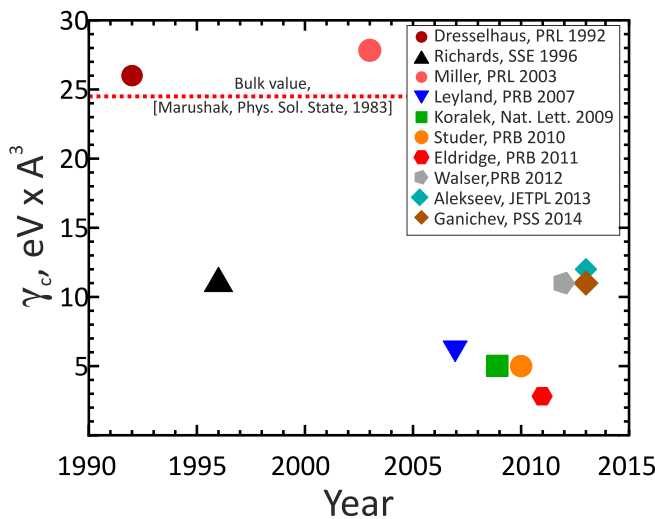


Рис. 1. Значения объемной спин-орбитальной константы γ_c , извлеченные из экспериментальных данных, полученных разными группами в квантовых ямах GaAs/AlGaAs. Имеется значительный разброс данных и несогласованность с результатами объемных измерений.

2. ОБЩАЯ ТЕОРИЯ ИНТЕРФЕЙСНОГО СПИН-ОРБИТАЛЬНОГО ВЗАИМОДЕЙСТВИЯ В КВАНТОВЫХ ЯМАХ

В квантовых ямах, выращенных в направлении $\hat{z} || [001]$, спиновое расщепление 2D электронного спектра имеет общий вид

$$E_{SS} = 2p\sqrt{\alpha_{BIA}^2 + \alpha_{SIA}^2 + 2\alpha_{BIA}\alpha_{SIA}\sin 2\phi}, \quad (1)$$

где $p_x = p\cos\phi$, $p_y = p\sin\phi$ есть компоненты 2D импульса.

Для получения интерфейсных вкладов в α_{BIA} и α_{SIA} начнем с трехмерной задачи, в которой эффективная волновая функция электрона в зоне проводимости подчиняется уравнению эффективной массы внутри QW толщины d . Соответствующий гамильтониан содержит члены \hat{H}_{BIA} и \hat{H}_{SIA} , описывающие спиновое расщепление спектра, возникающее из-за отсутствия инверсионной симметрии в объемном кристалле и асимметрии структуры соответственно

$$\hat{H} = \frac{\hat{p}^2}{2m^*} + V(z) + \hat{H}_{BIA} + \hat{H}_{SIA}, \quad (2)$$

$$\hat{H}_{BIA} = \frac{\gamma_c}{\hbar^3} [\sigma_x p_x (p_y^2 - \hat{p}_z^2) + \sigma_y p_y (\hat{p}_z^2 - p_x^2) + \sigma_z \hat{p}_z (p_x^2 - p_y^2)], \quad (3)$$

$$\hat{H}_{SIA} = a_{so} (\sigma_x p_y - \sigma_y p_x) \partial_z V(z), \quad (4)$$

где σ_x, σ_y и σ_z - матрицы Паули.

Стремясь принять во внимание микроскопическую структуру границ раздела, введем соответствующие граничные условия (BCs) для эффективной волновой функции. Феноменологические BCs для одиночной гетерограницы (001) GaAs/AlGaAs с симметрией C_{2v} с учетом спин-орбитального взаимодействия с атомарно резким интерфейсным потенциалом были получены в [16, 17] из общезначимых соображений. Так как границы, как правило, неэквивалентны, мы описываем их такими BCs с различными феноменологическими параметрами

$$\hat{\Gamma}_1 \phi(z)|_{z=d/2} = 0, \quad \hat{\Gamma}_2 \phi(z)|_{z=-d/2} = 0, \quad (5)$$

$$\hat{\Gamma}_{1(2)} = \left[\hat{1} - i \frac{R_{1(2)}}{\hbar} \hat{p} \mathbf{n} - i \frac{2m^* \gamma_c R_{1(2)}}{\hbar^4} (\sigma_y p_y - \sigma_x p_x) \hat{p} \mathbf{n} + \frac{(\chi + \chi_{1(2)}^{int}) R_{1(2)}}{\hbar} \boldsymbol{\sigma} (\hat{p} \times \mathbf{n}) - \frac{2m^* \gamma_{1(2)}^{int}}{\hbar^3} (\sigma_y p_y - \sigma_x p_x) \right]. \quad (6)$$

Здесь \mathbf{n} – единичный вектор, направленный вдоль внешней нормали к соответствующей границе раздела; R_1 (R_2) – вещественная величина, описывающая спектр таммовских состояний вблизи правой (левой) границы, если они существуют (для этого необходимо выполнение условия $R > 0$); χ – объемный спин-орбитальный параметр ($\chi = 0.082$ для GaAs); $\gamma_{c_1}^{\text{int}}$, χ_1^{int} и $\gamma_{c_2}^{\text{int}}$, χ_2^{int} характеризуют спин-орбитальное взаимодействие на правой и левой гетерограницах соответственно.

В самом низшем порядке по скалярным вкладам интерфейсов и параметрам SOI, операторы в BCs (5) могут быть преобразованы к унитарному виду

$$\hat{\Gamma}_{1(2)} = \exp(i\hat{g}_{1(2)}\hat{p}_z/\hbar) \text{ with } \hat{g}_{1(2)} \text{ satisfying}$$

$$\hat{g}_{1(2)} = -R_{1(2)}n_z - \frac{2m^*\gamma_c R_{1(2)}}{\hbar^3}(\sigma_y p_y - \sigma_x p_x)n_z - \frac{(\chi + \chi_{1(2)}^{\text{int}})R_{1(2)}^2}{\hbar}(\sigma_x p_y - \sigma_y p_x) - \frac{2m^*\gamma_{c_1(2)}^{\text{int}} R_{1(2)}}{\hbar^3}(\sigma_y p_y - \sigma_x p_x)n_z, \quad (7)$$

где $n_x = 1$ для правой границы и $n_x = -1$ для левой. Чтобы получить $\hat{\Gamma}_{1(2)}$, умножим $\hat{\Gamma}_{1(2)}$ слева на оператор $\left\{1 + \left[\left(\chi + \chi_{1(2)}^{\text{int}}\right)R_{1(2)} / \hbar\right]\boldsymbol{\sigma}(\hat{\mathbf{p}} \times \mathbf{n}) - \left[2m^*\gamma_{c_1(2)}^{\text{int}} / \hbar^3\right](\sigma_y p_y - \sigma_x p_x)\right\}^{-1}$ и будем пренебрегать членами, нелинейными по параметрам SOI.

Если система позволяет выполнять диагонализацию по спину, операторы \hat{g}_1 и \hat{g}_2 преобразуются, соответственно, в скалярные величины Δd_1 и Δd_2 , имеющие размерность длины. В этом случае оператор $\hat{\Gamma}_{1(2)}$ просто сдвигает правую (левую) границу в новое положение $z_r = d/2 + \Delta d_1$ ($z_l = -d/2 + \Delta d_2$), которое зависит от проекции спина $\sigma = \pm 1$ и соответствующих межфазных параметров. Такая спиновая диагонализация возможна в системах с одним типом SOI (Рашбы или Дрессельхауза).

Начнем со случая, когда присутствует только SOI типа Рашбы. Полученная задача формулируется так

$$\left(\frac{\hat{p}_z^2}{2m^*} + V(z) + a_{so} p \sigma \partial_z V\right) \psi_\sigma(z) = E_\sigma \psi_\sigma(z), \quad (8)$$

$$\psi_\sigma(z)|_{z=d/2+\Delta d_1} = 0, \quad \psi_\sigma(z)|_{z=-d/2+\Delta d_2} = 0, \quad (9)$$

$$\Delta d_{1(2)} = -R_{1(2)}n_z + \frac{\tilde{\chi}_{1(2)}R_{1(2)}^2}{\hbar} p \sigma, \quad (10)$$

где p есть абсолютное значение 2D импульса.

Дальнейший анализ организован следующим образом. Сначала рассмотрим простую задачу

$$\left(\frac{\hat{p}_z^2}{2m^*} + V(z)\right) \psi^{(0)} = E^{(0)} \psi^{(0)}, \quad (11)$$

$$\psi^{(0)}(z)|_{z=z_r} = 0, \quad \psi^{(0)}(z)|_{z=z_l} = 0, \quad (12)$$

что позволяет найти точное численное решение для произвольного потенциального профиля $V(z)$.

Далее мы предполагаем, что Δd_1 и Δd_2 много меньше d и получаем энергетический спектр задачи (8)-(10). В самом низком порядке по параметрам SOI он выглядит так

$$E_\sigma = E^{(0)} + a_{so} \langle \psi^{(0)} | \partial_z V | \psi^{(0)} \rangle p \sigma + \frac{\partial E^{(0)}}{\partial z_r} \Big|_{\frac{d}{2}, \frac{d}{2}} \Delta d_1 + \frac{\partial E^{(0)}}{\partial z_l} \Big|_{\frac{d}{2}, \frac{d}{2}} \Delta d_2. \quad (13)$$

Наконец, вычисляем спиновое расщепление $E_{SS} = (E_{+r} - E_{-r})$ и, сравнивая его с (1), получаем α_{SIA}

$$\alpha_{SIA} = \alpha_{SIA}^{(0)} + \frac{\tilde{\chi}_1 R_1^2}{\hbar} \frac{\partial E^{(0)}}{\partial z_r} \Big|_{\frac{d}{2}, \frac{d}{2}} + \frac{\tilde{\chi}_2 R_2^2}{\hbar} \frac{\partial E^{(0)}}{\partial z_l} \Big|_{\frac{d}{2}, \frac{d}{2}}. \quad (14)$$

Здесь последние два условия являются искомыми интерфейсными вкладами.

В системе только с SOI типа Дрессельхауза имеем

$$\Delta d_{1(2)} = -R_{1(2)}n_z - \frac{2m^*\tilde{\gamma}_{c_1(2)} R_{1(2)}}{\hbar^3} n_z p \sigma, \quad (15)$$

где $\tilde{\gamma}_{\tilde{n}(2)} = \gamma_{\tilde{n}} + \gamma_{\tilde{n}(2)}^{\text{int}}$. Выполняя аналогичный анализ, получаем интерфейсные вклады в α_{BIA}

$$\alpha_{BIA} = \alpha_{BIA}^{(0)} - \frac{2m^*(\gamma_c + \tilde{\gamma}_{c_1})R_1}{\hbar^3} \frac{\partial E^{(0)}}{\partial z_r} \Big|_{\frac{d}{2}, \frac{d}{2}} - \frac{2m^*\tilde{\gamma}_{c_1} R_1}{\hbar^3} \frac{\partial E_2^{(0)}}{\partial z_r} \Big|_{\frac{d}{2}, \frac{d}{2}} + \frac{2m^*(\gamma_c + \tilde{\gamma}_{c_2})R_2}{\hbar^3} \frac{\partial E_1^{(0)}}{\partial z_l} \Big|_{\frac{d}{2}, \frac{d}{2}} + \frac{2m^*\tilde{\gamma}_{c_2} R_2}{\hbar^3} \frac{\partial E_2^{(0)}}{\partial z_l} \Big|_{\frac{d}{2}, \frac{d}{2}}, \quad (16)$$

где $E_1^{(0)} = \langle \psi^{(0)}(z) | \hat{p}_z^2 / 2m^* | \psi^{(0)}(z) \rangle$,

$E_2^{(0)} = \langle \psi^{(0)}(z) | V(z) | \psi^{(0)}(z) \rangle$.

Можно ожидать, что, поскольку все спин-орбитальные константы малы, в общем случае,

когда в эффективном спиновом гамильтониане присутствуют как члены типа Рашбы, так и типа Дрессельхауза, то соответствующее спиновое расщепление будет иметь вид (1), где в низшем порядке по параметрам SOI величины α_{SIA} и α_{BIA} все еще определяются уравнениями (14) и (16) соответственно. Это предположение будет проверено ниже на простом примере.

Важно отметить, что интерфейсные вклады в α_{SIA} и α_{BIA} могут быть вычислены в QW с произвольным уровнем легирования и распределения потенциала, поскольку всегда можно найти $E^{(0)}$ и $\psi^{(0)}$ численно. Однако в некоторых случаях могут быть получены прозрачные аналитические результаты. В качестве примера рассмотрим теперь «узкую» QW, в которой энергия размерного квантования намного превышает энергию взаимодействия электронов с гладким (в атомном масштабе) потенциалом $V(z)$. Рассматривая потенциал $V(z)$ как возмущение, получим из уравнений (14) и (16) для основной подзоны

$$\alpha_{SIA} = \alpha_{SIA}^{(0)} - \frac{2\tilde{E}_0}{\hbar} \frac{(\tilde{\chi}_1 R_1^2 - \tilde{\chi}_2 R_2^2)}{d} + \frac{eFd}{2E_0} \frac{E_0}{\hbar} \frac{(\tilde{\chi}_1 R_1^2 + \tilde{\chi}_2 R_2^2)}{d}, \quad (17)$$

$$\alpha_{BIA} = \alpha_{BIA}^{(0)} - \frac{2k_0^2}{\hbar} \left[\frac{\gamma_c(R_1 + R_2)}{d} + \frac{\tilde{E}_0}{E_0} \frac{(\tilde{\gamma}_{c1} R_1 + \tilde{\gamma}_{c2} R_2)}{d} + \frac{eFd}{4E_0} \frac{(\tilde{\gamma}_{c2} R_2 - \tilde{\gamma}_{c1} R_1)}{d} \right], \quad (18)$$

где

$$k_0 = \pi/d, \quad eF = \langle \psi_0(z) | V'(z) | \psi_0(z) \rangle, \quad \psi_0(z) = \sqrt{2/d} \cos k_0 z, \quad E_0 = \frac{\hbar^2 k_0^2}{2m^*}, \quad (19)$$

$$\tilde{E}_0 = E_0 - \frac{1}{2} \langle \psi_0(z) | z V'(z) | \psi_0(z) \rangle.$$

Из уравнений (17) и (18) следует, что ISOI не только перенормирует значения α_{BIA} и α_{SIA} , но также влияет на качественное поведение спинового расщепления. Последнее анизотропно в структурах, в которых присутствуют оба SOI, как типа Дрессельхауза, так и типа Рашбы. В рамках приближения огибающих функций α_{SIA} обычно считается отличным от нуля только в структурах с внутренним или внешним электрическим

полем. Однако из уравнения (17) видно, что если интерфейсы не эквивалентны, т.е. $\tilde{\chi}_1 R_1^2 \neq \tilde{\chi}_2 R_2^2$, то α_{SIA} появляется даже в квантовых ямах с нулевым средним электрическим полем. Этот эффект приводит к анизотропии спинового расщепления в таких структурах. Наша теория, таким образом, объясняет результаты работы [4], где в номинально-симметричной QW с одинаково легированными барьерами и нулевым средним электрическим полем наблюдалось значительно отличное от нуля α_{SIA} . В то же время интерфейсный вклад в α_{BIA} отличен от нуля даже для структур с одинаковыми границами, т.е. $\gamma_{c1}^{int} = \gamma_{c2}^{int}$ и $R_1 = R_2$.

Теперь проверим, выполнено ли вышеприведенное предположение об аддитивности вкладов Рашбы и Дрессельхауза в нижнем порядке по константам SOI в «узкой» QW. С этой целью вычислим спиновое расщепление, начиная с трехмерной задачи (2)-(5) с обоими типами SOI и сравним полученные α_{SIA} и α_{BIA} с теми, которые удовлетворяют (17) и (18).

Для того, чтобы проанализировать влияние ISOI на спиновое расщепление, точно учтем взаимодействие с интерфейсным потенциалом. В то же время объемные SOI $\hat{H}_{BIA} + \hat{H}_{SIA}$ и гладкий потенциал $V(z)$, среднее значение которых считается малым по сравнению с энергией размерного квантования, обрабатываются по теории возмущений.

Сначала рассмотрим следующую задачу

$$\frac{\hat{p}_z^2}{2m^*} \phi^{(0)}(z) = \epsilon^{(0)} \phi^{(0)}(z), \quad (20)$$

$$\hat{\Gamma}_1 \phi^{(0)}(z)|_{z=d/2} = 0, \quad \hat{\Gamma}_2 \phi^{(0)}(z)|_{z=-d/2} = 0. \quad (21)$$

Вводим значения

$$\alpha_{1(2)} = 2m^* \tilde{\gamma}_{c(2)} R_{1(2)} p / \hbar^3,$$

$$\beta_{1(2)} = \tilde{\chi}_{1(2)} R_{1(2)}^2 p / \hbar,$$

$$\Delta = (\alpha_1 + \alpha_2) e^{-i\phi} - i(\beta_1 - \beta_2) e^{i\phi},$$

$$\tilde{\Delta} = (\alpha_1 - \alpha_2) e^{-i\phi} + i(\beta_1 - \beta_2) e^{i\phi}$$

и получаем собственные значения и собственные функции задачи (20)-(21) в нижнем порядке по скалярным вкладам интерфейсов и параметрам ISOI $\epsilon_{\pm}^{(0)} = E_0 [1 + 2(R_1 + R_2)/d \pm 2|\Delta|/d]$,

$$\phi_{\pm}^{(0)}(z) = \begin{pmatrix} C_1^{\pm} e^{-ik_{\pm}z} + C_3^{\pm} e^{ik_{\pm}z} \\ C_2^{\pm} e^{-ik_{\pm}z} + C_4^{\pm} e^{ik_{\pm}z} \end{pmatrix}, \quad (22)$$

где

$$k_{\pm} = k_0[1 + (R_1 + R_2)/d \pm |\Delta|/d],$$

$$C_2^{\pm} = \mp \frac{\Delta^*}{|\Delta|} C_1^{\pm}, \quad C_3^{\pm} = \left[1 + ik_0(R_1 - R_2) \pm \frac{\tilde{\Delta}}{\Delta} |\Delta| \right] C_1^{\pm}, \quad (23)$$

$$C_4^{\pm} = \left[\mp \frac{\Delta^*}{|\Delta|} - ik_0 \tilde{\Delta}^* \right] C_1^{\pm}, \quad (24)$$

и $|C_1| = (1/4d)[1 - (R_1 + R_2)/d \mp |\Delta|/d]^{-2}$.

Далее находим спектр задачи (2)-(5), используя собственные функции (22) в качестве базиса $\phi(z) = A\phi_+^{(0)} + B\phi_-^{(0)}$ и принимая $\hat{\delta H} = \hat{H}_{BLA} + \hat{H}_{SLA} + V(z)$ как возмущение

$$\begin{pmatrix} \epsilon_+^{(0)} + \langle \phi_+^{(0)} | \delta \hat{H} | \phi_+^{(0)} \rangle & \langle \phi_+^{(0)} | \delta \hat{H} | \phi_-^{(0)} \rangle \\ \langle \phi_-^{(0)} | \delta \hat{H} | \phi_+^{(0)} \rangle & \epsilon_-^{(0)} + \langle \phi_-^{(0)} | \delta \hat{H} | \phi_-^{(0)} \rangle \end{pmatrix} \begin{pmatrix} A \\ B \end{pmatrix} = E \begin{pmatrix} A \\ B \end{pmatrix}. \quad (25)$$

Как и ожидалось, получим спиновое расщепление спектра, которое имеет вид (1) с α_{SLA} и α_{BLA} , удовлетворяющее уравнениям (17) и (18) соответственно.

Значения интерфейсных параметров можно извлечь из сравнения с экспериментом, как это было сделано для широкой односторонне легированной QW GaAs/AlGaAs в [17]. Оценим, например, значения $\tilde{\chi}_1 R_1^2$ и $\tilde{\chi}_2 R_2^2$, сравнивая уравнение (17) с экспериментальными данными из [4]. В связи с тем, что все квантовые ямы выращивались в одинаковых условиях, мы предполагаем, что граничные параметры равны для всех структур. Однако в каждой квантовой яме левая граница раздела не эквивалентна правой. Предположим также, что $\tilde{E}_0 \approx E_0$. Для симметричного образца с $F = 0$ и $d = 12$ нм параметр $\alpha_{SLA} = (0.4 \cdot 10^{-3})v_F$ ($v_F = 4.11 \cdot 10^7$ см/с - скорость Ферми) определяется из разности между $\tilde{\chi}_1 R_1^2$ и $\tilde{\chi}_2 R_2^2$. Таким образом, мы можем оценить эту разность как $\tilde{\chi}_1 R_1^2 - \tilde{\chi}_2 R_2^2 = 1.4 \text{ \AA}^2$. Далее рассмотрим образец с той же толщиной и асимметричным легированием, для которого [4] $\alpha_{SLA} = (1.3 \cdot 10^{-3})v_F$. Выполняя самосогласованное решение уравнений Шрёдингера и Пуассона, получим $F = 2.085 \cdot 10^5$ В/см. Таким образом, оцениваем $\tilde{\chi}_1 R_1^2 + \tilde{\chi}_2 R_2^2 = 7.7 \text{ \AA}^2$. Наконец, найдем $\tilde{\chi}_1 R_1^2 = 4.6 \text{ \AA}^2$, $\tilde{\chi}_2 R_2^2 = 3.1 \text{ \AA}^2$.

Экспериментальные данные, представленные в [4], недостаточны для вычисления $\tilde{\chi}_1$, $\tilde{\chi}_2$, R_1 и R_2 отдельно. Однако можно получить некоторые оценки. Типичное значение R имеет порядок $\sim 20 \text{ \AA}$ [17]. Таким образом, мы оцениваем $\tilde{\chi}_1 \sim 0.012$ и $\tilde{\chi}_2 \sim 0.008$. Соответствующие значения $\tilde{\chi}_1^{\text{int}} \sim -0.07$ и $\tilde{\chi}_2^{\text{int}} \sim -0.74$ - того же порядка, что и объемное значение $\chi = 0.082$.

ЗАКЛЮЧЕНИЕ

Разработана теория интерфейсного спин-орбитального взаимодействия в узких квантовых ямах. Получена перенормировка параметров Дрессельхауса и Раббы, возникающая при учете спин-орбитального взаимодействия сразу с двумя гетерограницами. Значительный разброс экспериментально определенных значений спин-орбитальных констант может быть обусловлен зависимостью α_{BLA} и α_{SLA} от граничных параметров и, таким образом, от условий роста. Продемонстрировано также, что микроскопическое несходство интерфейсов приводит к ненулевым значениям параметров SOI Раббы даже в квантовых ямах с нулевым средним электрическим полем. Этот результат объясняет экспериментальные данные [4], где в симметричной структуре было обнаружено ненулевое значение α_{SLA} .

ЛИТЕРАТУРА

1. Dresselhaus G. Spin-Orbit Coupling Effects in Zinc Blende Structures. *Phys. Rev.*, 1955, 100(2):580-586.
2. Bychkov Yu A, Rashba EI. Properties of a 2D electron gas with lifted spectral degeneracy. *JETP Lett.*, 1984, 39(2):78-81.
3. Dyakonov MI, Perel VI. Spin relaxation of conduction electrons in noncentrosymmetric semiconductors. *Sov. Phys. Solid State*, 1972, 13(12):3023-3026.
4. Koralek JD, Weber CP, Orenstein J, Bernevig BA, Zhang Sh-Ch, Mack S, Awschalom DD. Emergence of the persistent spin helix in semiconductor quantum wells. *Nature*, 2009, 458(7238):610-613.
5. Marushchak VA, Stepanova MN, Titkov AN. Spin relaxation of conduction electrons in moderately doped gallium arsenide crystals. *Sov. Phys. Solid State*, 1983, 25:2035.
6. Dresselhaus PD, Papavassiliou CMA, Wheeler RG, Sacks RN. Observation of spin precession in GaAs inversion layers using antilocalization. *Phys. Rev. Lett.*, 1992, 68:106.
7. Richards D, Jusserand B, Allan G, Priester C, Etienne B. Electron spin-flip Raman scattering in asymmetric quantum wells: spin orientation. *Solid-State Electronics*, 1996, 40(1-8):127-131.

8. Miller JB, Zumbuhl, DM Marcus CM, Lyanda-Geller YB, Goldhaber-Gordon D, Campman K, Gossard AC. Gate-Controlled Spin-Orbit Quantum Interference Effects in Lateral Transport. *Phys. Rev. Lett.*, 2003, 90:076807.
9. Krich JJ, Halperin BI. Cubic Dresselhaus spin-orbit coupling in 2D electron quantum dots. *Phys. Rev. Lett.*, 2007, 98(22):226802.
10. Leyland WJH, Harley RT, Henini M, Shields AJ, Farrer I, Ritchie DA. *Phys. Rev. B*, 2007, 76:195305; Studer M, Walser MP, Baer S, Rusterholz H, Schon S, Schuh D, Wegscheider W, Ensslin K, Salis G. *Phys. Rev. B*, 2010, 83:235320.
11. Eldridge PS, Hubner J, Oertel S, Harley RT, Henini M, Oestreich M. Spin-Orbit Fields In Asymmetric (001)-Oriented GaAs/AlGa_{1-x}As Quantum Wells. *Phys. Rev. B*, 2011, 83(4):041301.
12. Walser MP, Siegenthaler U, Lechner V, Schuh D, Ganichev SD, Wegscheider W, Salis G. Dependence of the Dresselhaus spin-orbit interaction on the quantum well width. *Phys. Rev. B*, 2012, 86:195309.
13. Alekseev PS. Anisotropic interface contribution to the spin-orbit interaction in quantum wells. *JETP Lett.*, 2013, 98(2):84-87.
14. Ganichev SD, Golub LE. Interplay of Rashba/Dresselhaus spin splittings probed by photogalvanic spectroscopy. *Phys. Status Solidi B*, 2014, 251(9):1801-1823.
15. Devizorova ZhA, Volkov VA. Spin splitting of two-dimensional states in the conduction band of asymmetric heterostructures: Contribution from the atomically sharp interface. *JETP Lett.*, 2013, 98(2):101-106.
16. Devizorova ZhA, Shchepetilnikov AV, Nefyodov YuA, Volkov VA, Kukushkin IV. Interface contributions to the spin-orbit interaction parameters of electrons at the (001) GaAs/AlGaAs interface. *JETP Lett.*, 2014, 100(2):102-109.
17. Winkler R. *Spin-orbit coupling effects in two-dimensional electron and hole systems*. Berlin, Springer, 2003, p. 194.

Девизорова Жанна Алексеевна

к.ф.-м.н.

ИРЭ им. В.А. Котельникова РАН

11/7, ул. Моховая, Москва 125009, Россия

devizorovazhanna@gmail.com

Волков Владимир Александрович

д.ф.-м.н.

ИРЭ им. В.А. Котельникова РАН

11/7, ул. Моховая, Москва 125009, Россия

VoVA@cplire.ru

EFFECTIVE SPIN-ORBIT INTERACTION IN NARROW QUANTUM WELLS

Zhanna A. Devizorova, Vladimir A. Volkov

Kotelnikov Institute of Radioengineering and Electronics of Russian Academy of Sciences, <http://cplire.ru>
11/7, Mokhovaya Str., Moscow 125009, Russian Federation

devizorovazhanna@gmail.com, VoVA@cplire.ru

Abstract. Rashba and linear Dresselhaus interactions are believed to yield dominant contribution to the spin splitting of two-dimensional electrons in the quantum wells based on A3B5 compounds. We show that the interfacial spin-orbit interaction significantly renormalizes the value of the corresponding Rashba (α_{SIA}) and Dresselhaus (α_{BIA}) parameters. For this purpose, we solve the effective mass equation in a quantum well supplemented by the original boundary conditions on the atomically sharp interfaces and calculate the interfacial contributions to α_{SIA} and α_{BIA} . Our results explain a considerable spread in the experimental data on spin-orbit parameters in GaAs/AlGaAs quantum wells. We also demonstrated that the non-equivalence of the interfaces leads to the anisotropy of the spin splitting even in quantum wells with zero average electric field.

Keywords: quantum wells, spin splitting of two-dimensional electrons, spin-orbit interactions, interfacial terms

PACS: 71.22.+i, 71.70.Ej, 73.21.Fg, 73.20.-r, 73.21.-b

Bibliography - 17 references

RENSIT, 2018, 10(3):357-362

Received 08 October 2018; accepted 28 November 2018

DOI: 10.17725/rensit.2018.10.357